ISSN: 2582-4686 SJIF 2021-3.261,SJIF 2022-2.889,
2024-6.875 ResearchBib IF: 9.948 / 2024

THE MULTIDISCIPLINARY JOURNAL OF SCIENCE AND TECHNOLOGY

VOLUME-5, ISSUE-6

ПРЯМОЙ ИЗГИБ

Бобоев Х.Х.
Алмалыкский филиал ТГТУ им. И. Каримова декан факультета «Энергетика и машиностроения» доцент
Хасанов Б.Б.
ст. преп. кафедры «Тех.маш.» Алмалыкского филиала ТГТУ им. И. Каримова
Олимжонов Х.Н.
студент группы 7М-24 МТ Алмалыкского филиала ТГТУ им. И. Каримова

Рисбоева Р.Б.
студент группы 7б-23 ТМ Алмалыкского филиала ТГТУ им. И. Каримова

Построить эпюры поперечных сил и изгибающих моментов для балки, изображенной на рис.1.

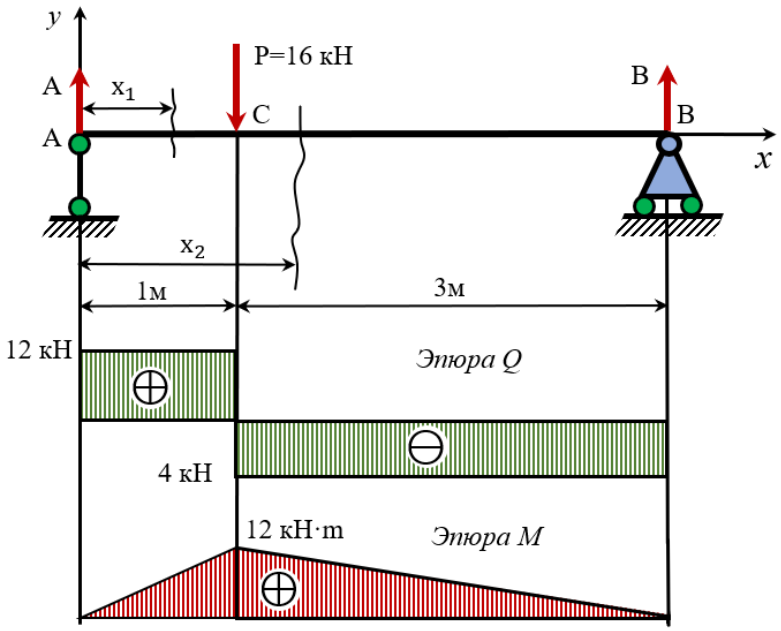


Рис.1.

Определяем опорные реакции:

$$\sum M_A = 0; \quad P \cdot 1 - B \cdot 4 = 0$$

откуда

$$B = \frac{P \cdot 1}{4} = \frac{16 \cdot 1}{4} = 4 \text{ кН};$$

$$\sum M_B = 0; \quad -P \cdot 3 + A \cdot 4 = 0,$$

откуда

$$A = \frac{P \cdot 3}{4} = \frac{16 \cdot 3}{4} = 12 \text{ кН}.$$

Проверку правильности найденных значений опорных реакций производим по уравнению суммы проекций всех сил на вертикальную ось: $A - P + B = 0$ или $12 - 16 + 4 = 0$, $0 = 0$, откуда заключаем, что опорные реакции определены правильно. Для построения эпюр поперечных сил и изгибающих моментов применяем метод сечений.

Балку условно представим состоящей из 2 участков: первый участок расположен от

ISSN: 2582-4686 SJIF 2021-3.261,SJIF 2022-2.889,
2024-6.875 ResearchBib IF: 9.948 / 2024

THE MULTIDISCIPLINARY JOURNAL OF SCIENCE AND TECHNOLOGY

VOLUME-5, ISSUE-6

точки А до точки С; второй - от точки С до точки В. Определим значения поперечной силы для каждого участка. На первом участке балки произвольно выберем сечение на расстоянии x_1 от опоры А.

Слева от сечения на балку действует одна внешняя сила А (опорная реакция), которая стремится повернуть левую часть балки относительно точки, лежащей в проведенном сечении по часовой стрелке. Следовательно, сила А вызывает положительную поперечную силу

$$Q_{x_1} = A = 12 \text{ кН}.$$

На втором участке балки произвольно выберем сечение на расстоянии x_2 от опоры А. Слева от сечения на балку действуют две внешние силы А и Р. Сила А, как и на первом участке, вызывает положительную поперечную силу, а сила Р, стремящаяся повернуть левую часть балки относительно точки, лежащей в проведенном сечении, против часовой стрелки, вызывает отрицательную поперечную силу

$$Q_{x_2} = A - P = 12 - 16 = -4 \text{ кН}.$$

Эпюра поперечных сил приведена на рисунке.

Определим значения изгибающих моментов для каждого участка балки.

Мысленно зацементируем отсеченную левую часть балки в проведенном сечении на первом участке.

Сила А изгибает отсеченную часть балки относительно проведенного сечения выпуклостью вниз, следовательно, сила А дает положительный изгибающий момент

$$M_{x_1} = A \cdot x_1.$$

Изгибающий момент на этом участке меняется по закону прямой линии, для построения которой достаточно два его значения:

$$\text{при } x_1 = 0 \quad M|_{x_1=0} = 0; \quad M|_{x_1=0} \text{ или } M|_{x_1=1};$$

$$\text{при } x_1 = 1 \text{ м} \quad M|_{x_1=1} = 12 \cdot 10^3 \cdot 1 = 12 \cdot 10^3 \text{ Н} \cdot \text{м} = 12 \text{ кН} \cdot \text{м}$$

Аналогично, мысленно зацементируем отсеченную левую часть в проведенном сечении на втором участке.

Сила А, как и на первом участке, дает положительный изгибающий момент. Сила Р изгибает отсеченную часть балки относительно проведенного сечения выпуклостью вверх, следовательно, сила Р дает отрицательный изгибающий момент

$$M_{x_2} = A \cdot x_2 - P(x_2 - 1)$$

И на этом участке изгибающий момент изменяется по закону прямой линии, для построения которой также достаточно знать два его значения:

$$\text{при } x_2 = 1 \text{ м}, \quad M|_{x_2=1} = 12 \cdot 10^3 \text{ Н} \cdot \text{м} = 12 \text{ кН} \cdot \text{м};$$

$$\text{при } x_2 = 4 \text{ м}, \quad M|_{x_2=4} = 12 \cdot 10^3 \cdot 4 - 16 \cdot 10^3 \cdot 3 = 0$$

Эпюра изгибающих моментов приведена на рисунке. Построить эпюры можно и без составления уравнений поперечных сил и изгибающих моментов, а путем вычисления значений поперечных сил и моментов в характерных точках (сечениях). Для рассматриваемой балки характерными точками являются точки А, С и В. Характер изменения эпюр между этими точками установим при помощи дифференциальных зависимостей: так как распределенная нагрузка на обоих участках отсутствует ($q = 0$), то поперечная сила в

ISSN: 2582-4686 SJIF 2021-3.261,SJIF 2022-2.889, 2024-6.875 ResearchBib IF: 9.948 / 2024

THE MULTIDISCIPLINARY JOURNAL OF SCIENCE AND TECHNOLOGY

VOLUME-5, ISSUE-6

пределах каждого участка постоянна, а изгибающий момент изменяется по линейному закону.

Вычислим характерные значения поперечных сил. Поскольку мы установили, что поперечная сила постоянна на каждом из участков балки, достаточно вычислить по одному значению Q на каждом участке. Однако в целях контроля можно вычислить большее количество характерных значений. Например:

в сечении A $Q_A = A = 12$ кН;

в сечении C (слева) $Q^{Л}_{C} = A = 12$ кН;

в сечении C (справа) $Q^{П}_{C} = A - P = 12 - 16 = -4$ кН;

в сечении B $Q_B = -B = -4$ кН

Вычислим значения изгибающих моментов в этих же сечениях:

в сечении A $M_A = 0$;

в сечении C слева $M_C = A \cdot 1 = 12 \cdot 10^3$ Н · м $= 12$ кН · м

в сечении C справа $M_B = A \cdot 4 - P \cdot 3 = 12 \cdot 10^3 \cdot 4 - 16 \cdot 10^3 \cdot 3 = 0.$

По найденным значениям и известному качественному характеру изменения поперечной силы и изгибающего момента строят эпюры Q и M.

ЛИТЕРАТУРА

1. Э.Ф. Винокуров. А.Г. Петрович. Л.И. Шевчук. Сопротивлению материалов расчетно-проектировочные работы. Минск “Вышэйшая школа”. 1987. -227стр.

2. Н.М. Атаров, Ю.Д. Насонкин “Примеры решения задач по сопротивлению материалов”. Учебное пособие. Москва 1990. -136 стр.

3. Khasanov B. B. “Determination of the Angular Velocity of the Driving Link at the Moment of Driving Forces”. Spanish Journal of Innovation and Integrity. ISSN: 2792-8268 Volume: 33, Aug-2024. http://sjii.indexedresearch.org

4. Хасанов Б.Б. “РАСЧЕТ СТАТИЧЕСКИ ОПРЕДЕЛИМОЙ СТЕРЖНЕВОЙ СИСТЕМЫ”. ISSN: 2582-4686 SJIF 2021-3.261, SJIF 2022-2.889, 2023-5.384 ResearchBib IF: 8.848 / 2024. Multidisciplinary journal of science and technology, VOLUME-4, ISSUE-12. 4(12), 292–295. https://doi.org/10.5281/zenodo.14501838

5. B.B. Xasanov., “BURALISH DEFORMATSIYASI”. TECHNICAL SCIENCE RESEARCH IN UZBEKISTAN, 1(5), 547–551. Retrieved from. ISSN (E): 2992-9148 ResearchBib Impact Factor: 9.576 / 2023. VOLUME-1, ISSUE-5
https://doi.org/10.5281/zenodo.10448458

6. Khudjaev M. Shakov V. Khasanov B. “Modeling fluid outflow from a channel consisting of a cylindrical section of a constant radius, and an expanding outlet section”. WEB OF SCIENTIST: INTERNATIONAL SCIENTIFIC RESEARCH JOURNAL ISSN: 2776-0979, Volume 3, Issue 4, April., 2022. https://wos.academiascience.org

7. Khasanov B. B. (2025). “TORSION OF RODS. B INTERNATIONAL BULLETIN OF ENGINEERING AND TECHNOLOGY” (Т. 5, Выпуск 5, сс. 222–224). Zenodo. https://doi.org/10.5281/zenodo.15601456

8. Khudjaev M. K. Khasanov B. B. “STATICS OF A TRIANGULAR WEDGE”. International Journal of Mechatronics and Applied Mechanics 2025, Issue 20, Vol. 1. 202–207. https://ijomam.com/issue-20/